

本資料のうち、枠囲みの内容は防護上の観点から公開できません。

女川原子力発電所第2号機 工事計画審査資料	
資料番号	02-工-B-20-0120_改0
提出年月日	2021年5月12日

VI-3-別添 3-2-4 貯留堰の強度計算書

2021年5月

東北電力株式会社

目 次

VI-3-別添 3-2-4 貯留堰の強度計算書

VI-3-別添 3-2-4 貯留堰の強度計算書

O 2 (4) VI-3-別添 3-2-4 R 0

2021年5月

東北電力株式会社

目次

1.	概要	1
2.	基本方針	2
2.1	位置	2
2.2	構造概要	2
2.3	評価方針	5
2.4	適用基準	7
3.	強度評価方法	8
3.1	記号の定義	8
3.2	評価対象	9
3.3	荷重及び荷重の組合せ	11
3.3.1	荷重	11
3.3.2	荷重の組合せ	12
3.4	許容限界	14
3.5	評価方法	15
3.5.1	解析方法	15
3.5.2	設計水平震度の算定	15
3.5.3	評価方法	19
3.5.4	使用材料及び材料の物性値	20
4.	評価条件	21
4.1	津波時	21
4.2	重畠時1	22
4.3	重畠時2	23
4.4	解析ケースによる荷重モデル図	24
5.	強度評価結果	25
5.1	曲げ圧縮応力度に対する照査	25
5.2	引張応力度に対する照査	26
5.3	せん断応力度に対する照査	26

1. 概要

本資料は、添付書類「VI-3-別添 3-1 津波への配慮が必要な施設の強度計算の方針」に示すとおり、貯留堰（No. 1），（No. 2），（No. 3），（No. 4），（No. 5），（No. 6）が地震後の繰返しの襲来を想定した津波荷重、余震荷重及び漂流物の衝突荷重に対して十分な構造強度を有していることを確認するものである。

なお、貯留堰（No. 1），（No. 2），（No. 3），（No. 4），（No. 5），（No. 6）の強度評価においては、平成 23 年 3 月 11 日に発生した東北地方太平洋沖地震による地殻変動に伴い、牡鹿半島全体で約 1m の地盤沈下が発生したことを考慮した敷地高さや施設高さ等を記載する。

2. 基本方針

2.1 位置

貯留堰の位置図を図 2-1 に示す。

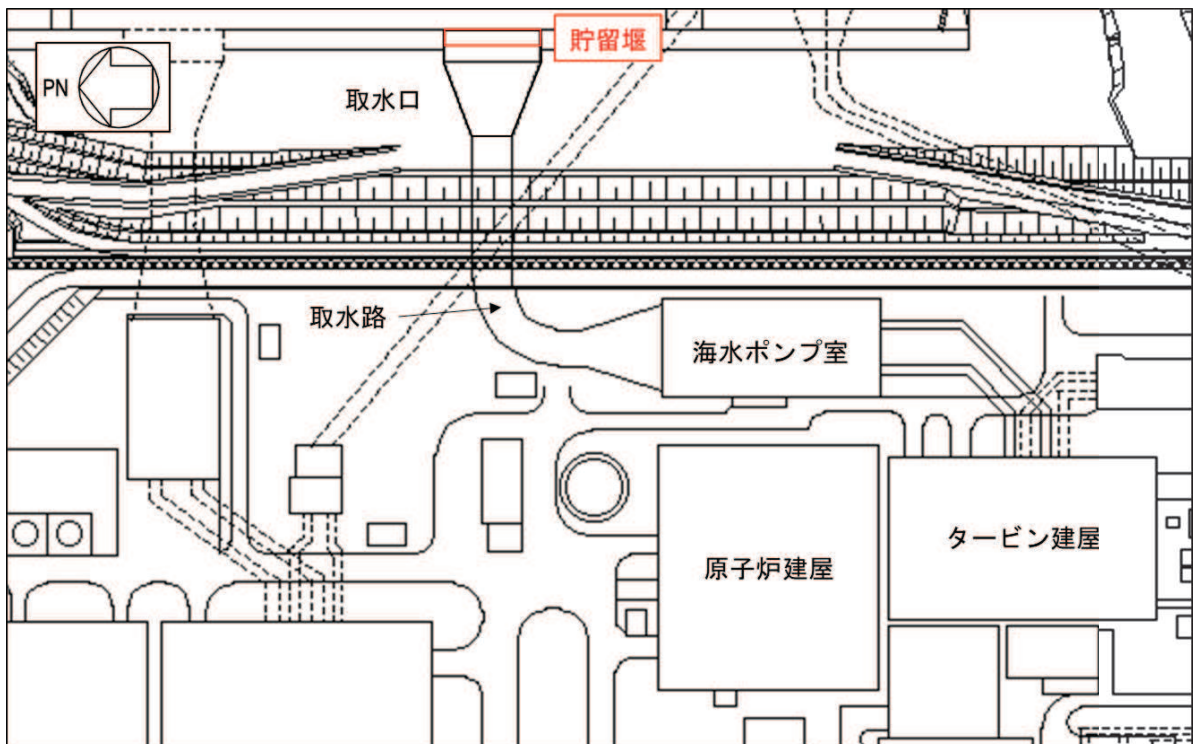


図 2-1 貯留堰位置図

2.2 構造概要

貯留堰の平面図、縦断図、正面図を図 2-2～図 2-4 に示す。

図 2-2～図 2-4 のとおり、貯留堰は岩盤上にマンメイドロック（以下「MMR」という。）を介して設置された取水口と一体構造の非常用取水設備・津波防護施設であり、通水機能及び貯水機能が要求される。

貯留堰は鉄筋コンクリート構造物であり、津波による水位低下に対して非常用海水ポンプの機能が保持でき、かつ、原子炉冷却に必要な海水を確保できるよう、取水口底版より 1.2m の高さを有している。貯留堰の配筋図を図 2-5 に示す。

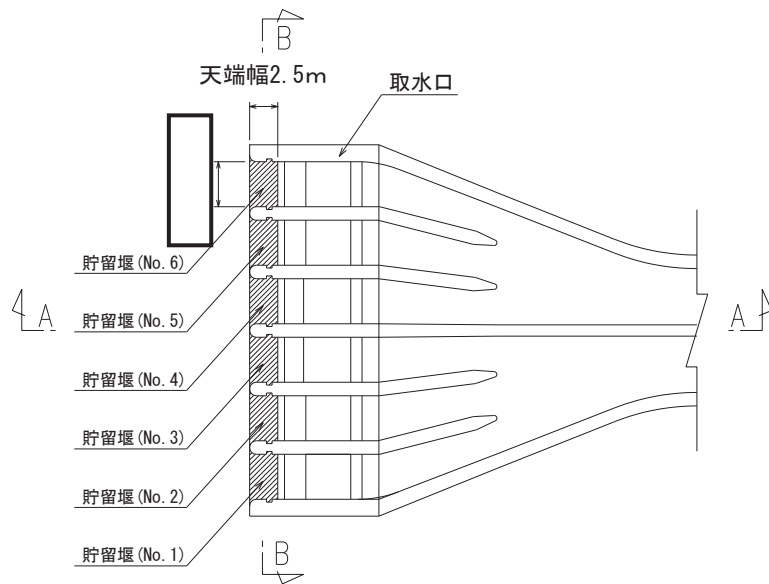


図 2-2 貯留堰平面図

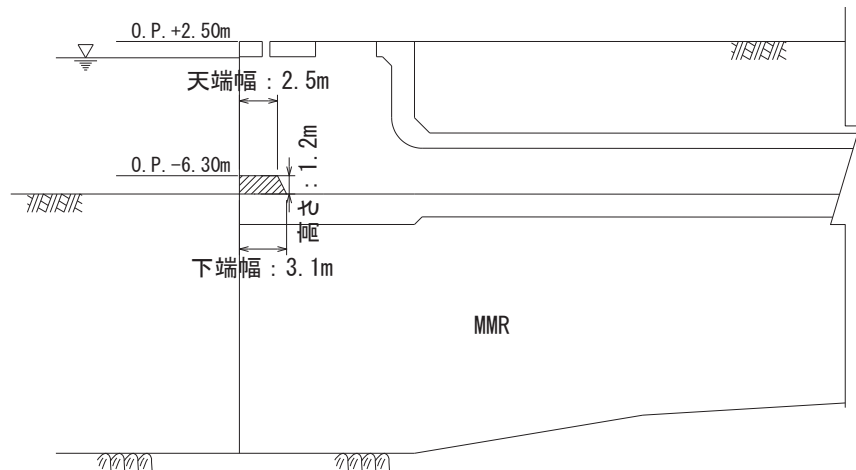


図 2-3 貯留堰縦断図 (A-A)

枠囲みの内容は防護上の観点から公開できません。

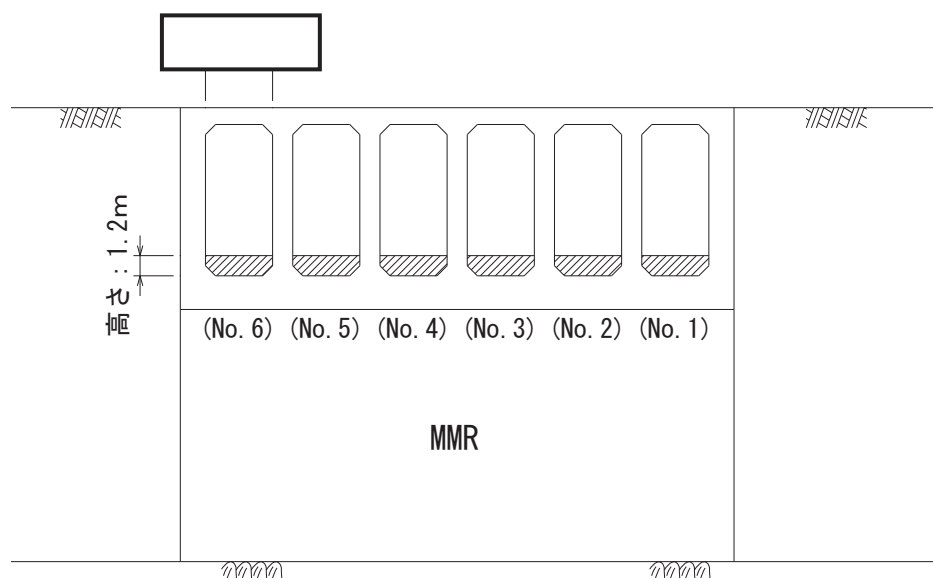


図 2-4 貯留堰正面図 (B-B)

O 2 ④ VI-3別添 3-2-4 R 0

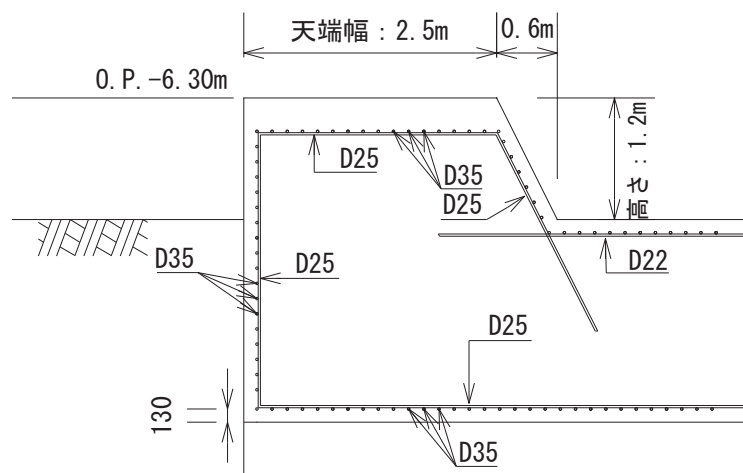


図 2-5 貯留堰配筋図

枠囲みの内容は防護上の観点から公開できません。

2.3 評価方針

貯留堰の強度評価は、添付書類「VI-3-別添3-1 津波への配慮が必要な施設の強度計算の方針」の「4.1 荷重及び荷重の組合せ」及び「4.2 許容限界」を踏まえて実施する。強度評価においては、「3. 強度評価方法」に示す方法により、「4. 評価条件」に示す評価条件を用いて評価し、「5. 強度評価結果」より、発生応力が許容限界を満足することを確認する。

貯留堰の強度評価に用いる荷重及び荷重の組合せは、津波に伴う荷重作用時（以下「津波時」という。）、津波に伴う荷重及びS d-D 2による余震荷重作用時（以下「重畠時」という。）を対象とする。

貯留堰の評価項目及び評価フローを表2-1、図2-6に示す。

表2-1 貯留堰の評価項目

評価方針	評価項目	評価方法	許容限界
構造強度を有すること	施設の健全性	発生する応力（曲げ・軸力、せん断力）が許容限界以下であることを確認	短期許容応力度（曲げ・軸力、せん断力）*
止水性を損なわないこと			

注記 *：妥当な安全余裕を考慮する。

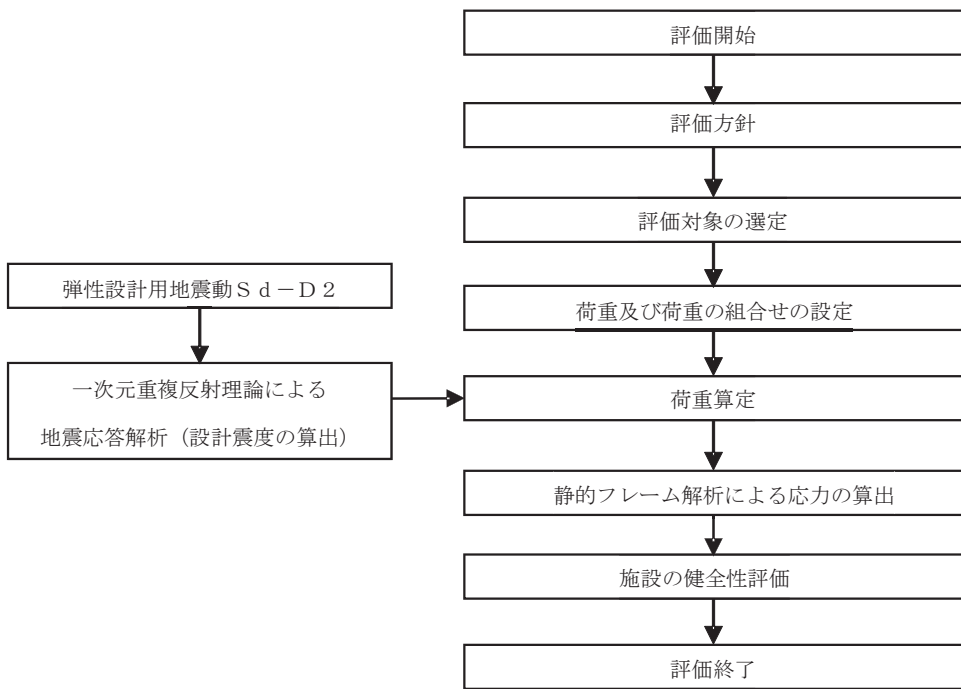


図 2-6 貯留堰の強度評価フロー

2.4 適用基準

適用する規格、基準等を以下に示す。

- ・土木学会 2002年 コンクリート標準示方書 [構造性能照査編]

3. 強度評価方法

3.1 記号の定義

強度評価に用いる記号を表3-1に示す。

表3-1 強度評価に用いる記号

記号	単位	定義
g	m/s^2	重力加速度
kh	—	設計水平震度
w_1	kN/m	躯体自重(貯留堰天端における軸方向荷重)
w_2	kN/m	躯体自重(貯留堰下端における軸方向荷重)
h_1	m	貯留堰の天端における水深
h_2	m	貯留堰の下端における水深
p_1	kN/m	貯留堰の天端における津波波圧
p_2	kN/m	貯留堰の下端における津波波圧
P_c	kN	衝突荷重
p_{d1}	kN/m	貯留堰の天端における動水圧
p_{dn}	kN/m	貯留堰にかかる動水圧(分割してn番目の動水圧)
p_{s1}	kN/m	貯留堰の天端における静水圧
p_{s2}	kN/m	貯留堰の下端における静水圧
γw	kN/m^3	海水の単位体積重量
psd_1	kN/m	貯留堰の天端における躯体慣性力
psd_2	kN/m	貯留堰の下端における躯体慣性力
σ	N/mm	曲げモーメント及び軸力による応力
f'_{ck}	N/mm^2	コンクリートの設計基準強度
σ'_{ca}	N/mm^2	短期許容曲げ圧縮応力度
σ_{sa}	N/mm^2	短期許容引張応力度
M	$kN\cdot m$	曲げモーメント
N	kN	軸力
τ	N/mm^2	せん断応力度
τ_a	N/mm^2	短期許容せん断応力度
V	kN	せん断力

3.2 評価対象

貯留堰は取水口に 6 基設置されているが、各貯留堰は近接していることから、各貯留堰位置での地質構造には有意な差がない。したがって、6 基の貯留堰の中央位置で作成した地質断面を用いて、評価を実施する。

図 2-2 に示す A-A 及び B-B 断面の地質図を図 3-1、評価対象位置での地質構成図を図 3-2 に示す。図 3-1 に示す通り、貯留堰は C_M もしくは C_H 岩盤上に MMR を介して構築された取水口底版に設置されている。

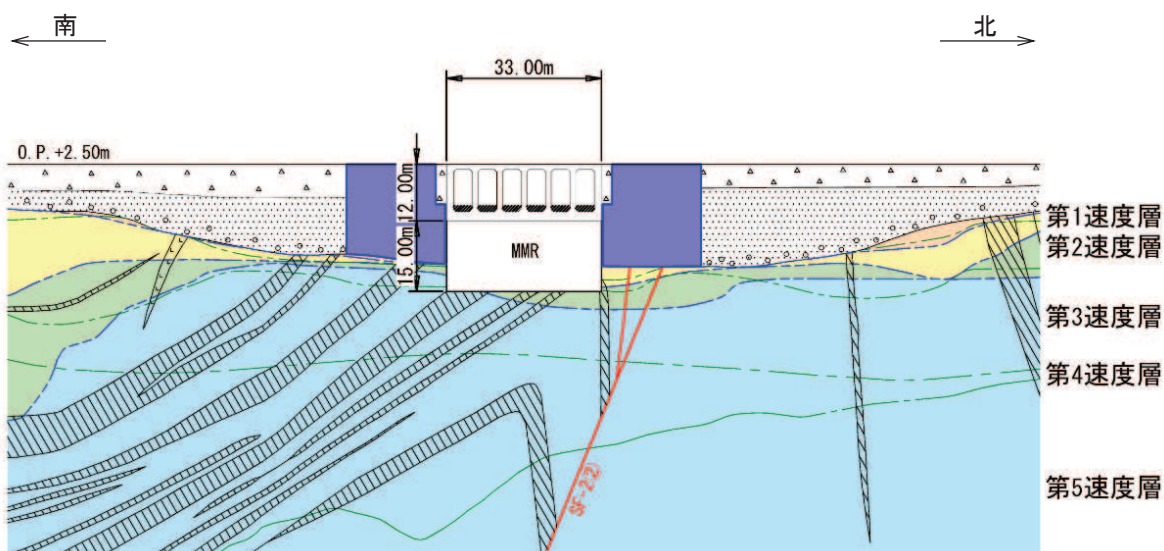


図 3-1(1) 貯留堰地質断面図 (A-A)

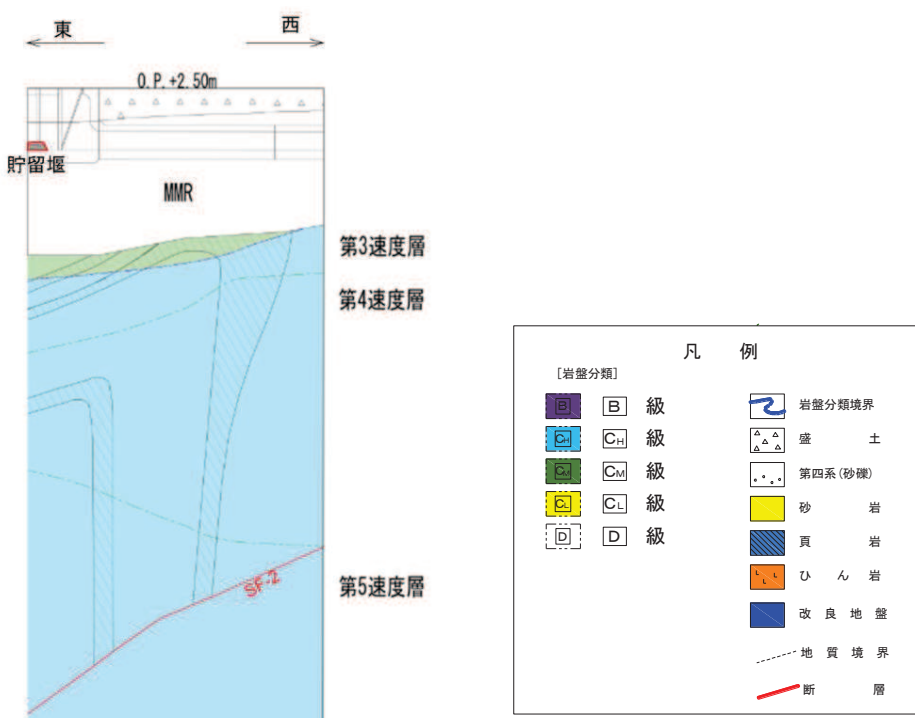


図 3-1(2) 貯留堰地質断面図 (B-B)

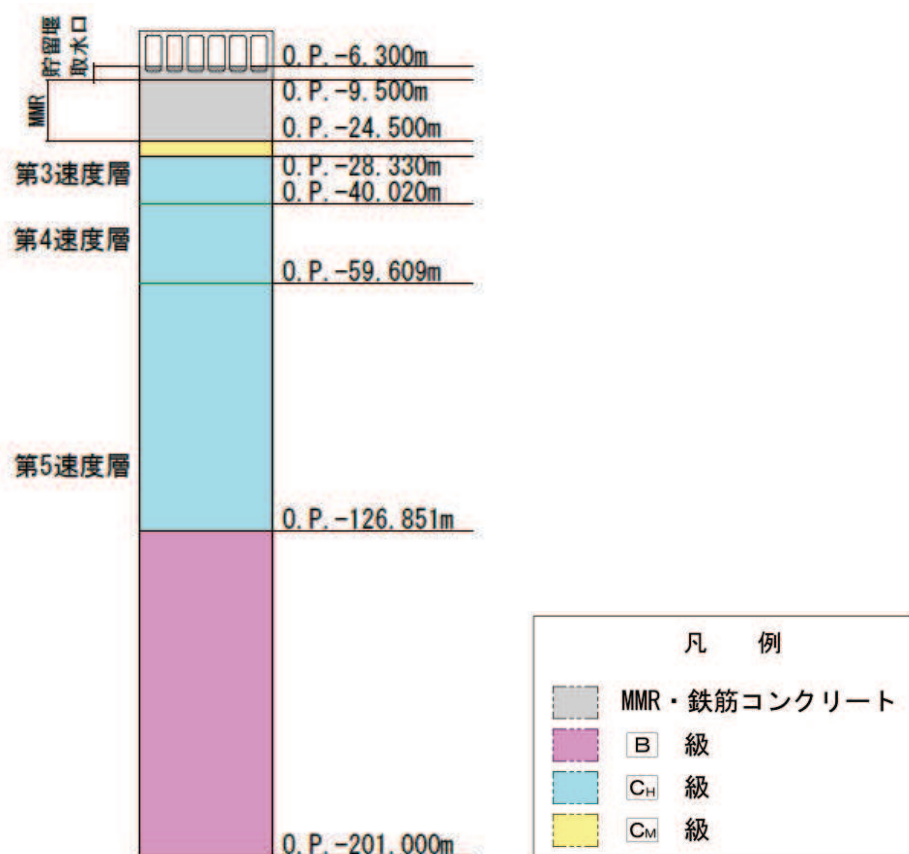


図 3-2 地質構成図

3.3 荷重及び荷重の組合せ

強度計算に用いる荷重及び荷重の組合せは、添付書類「VI-3-別添3-1 津波への配慮が必要な施設の強度計算の方針」の「4.1 荷重及び荷重の組合せ」にて示している荷重及び荷重の組合せを踏まえて設定する。

3.3.1 荷重

強度評価には、以下の荷重を用いる。

(1) 固定荷重 (G)

固定荷重として、躯体自重を考慮する。

(2) 邑上津波荷重 (P_t)

邑上津波荷重として、海底面高さ (O.P. -11.5m) と貯留堰の各高さにおける標高 (O.P. -6.3m) との差の 1/2 を設計用浸水深として、朝倉式により算定した波力を考慮する。

(3) 余震荷重 (K_{S d})

余震荷重として、弾性設計用地震動 S_d - D₂ による慣性力及び動水圧を考慮する。

(4) 津波荷重 (静水圧) (P_{h y})

基準津波による貯留堰内外の水位差が最大となる津波高さ (O.P. -5.3m) の時の静水圧を考慮する。

(5) 衝突荷重 (P_c)

衝突荷重については、2.15 t の車両を対象に「FEMA (2012) *1」による漂流物荷重に十分な余裕を考慮して設定する。衝突荷重を表3-2に示す。

注記 *1 : FEMA (2012) : Guidelines for Design of Structures for Vertical Evacuation from Tsunamis Second Edition, FEMA P-646, Federal Emergency Management Agency, 2012

表3-2 衝突荷重

流速 (m/s)	衝突荷重 (kN)
13.0	2000

3.3.2 荷重の組合せ

荷重の組合せは表 3-3 に示すとおり、強度評価に用いる荷重の組合せは津波時及び重畠時 1、重畠時 2 の 3 ケースを考慮する。各ケースにおける荷重の作用図を図 3-3 に示す。

表 3-3 荷重の組合せ

外力の状態	荷重の組合せ
津波時	$G + P_t + P_c$
重畠時 1	$G + P_t + K_S d$
重畠時 2	$G + P_h y + K_S d + P_c$

G : 固定荷重

P_t : 邶上津波荷重

P_c : 衝突荷重

$K_S d$: 余震荷重

$P_h y$: 津波荷重（静水圧）

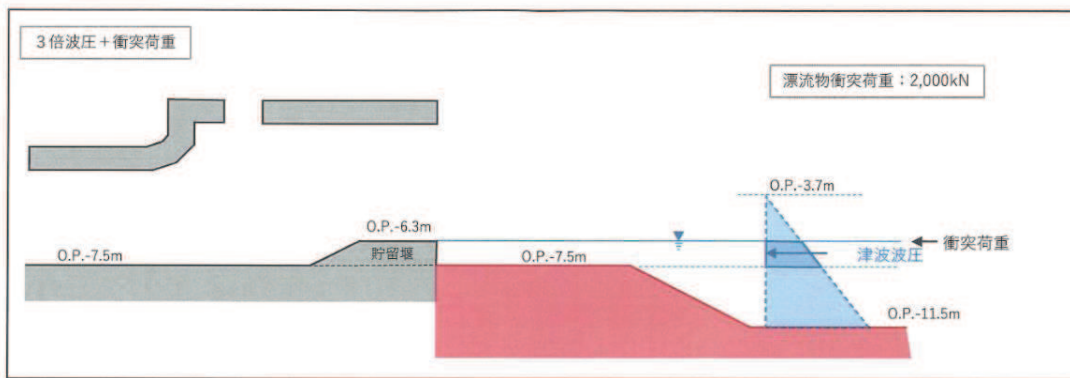


図 3-3(1) 荷重作用図（津波時）

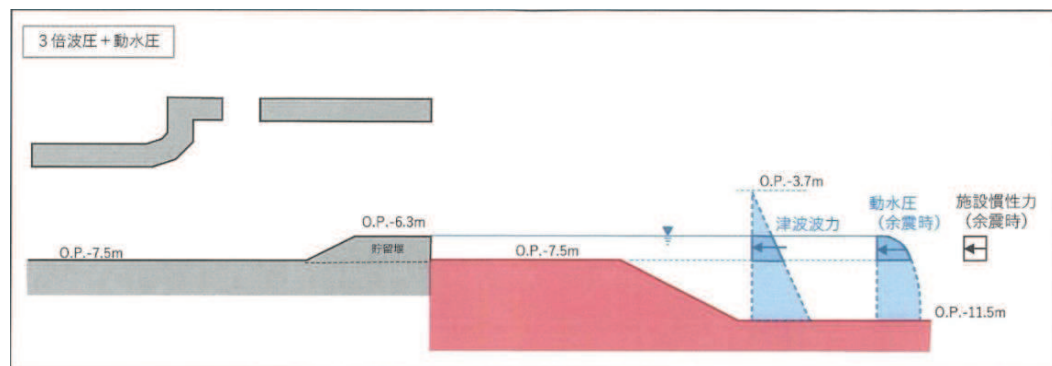


図 3-3(2) 荷重作用図（重畠時 1）

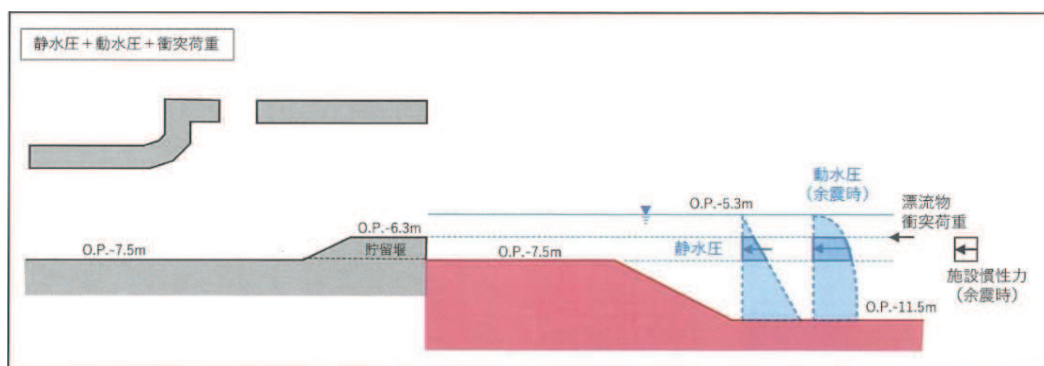


図 3-3(3) 荷重作用図（重畠時 2）

3.4 許容限界

許容限界は、「3.2 評価対象」にて設定した評価対象の応力や形状を考慮し、添付書類「VI-3別添3-1 津波への配慮が必要な施設の強度計算の方針」にて設定している許容限界を踏まえて設定する。

貯留堰の許容限界は、「コンクリート標準示方書[構造性能照査編]（土木学会, 2002年制定）」に基づく許容応力とする。貯留堰の許容限界を表3-4に示す。

表3-4 貯留堰の許容限界

種別	許容応力度 (N/mm ²)		短期許容応力度* (N/mm ²)
コンクリート (f' c k = 20.5 N/mm ²)	許容曲げ圧縮応力度 σ' ca	7.8	11.7
	許容せん断応力度 τ a	0.42	0.63
鉄筋 (SD345)	許容引張応力度 σ sa	196	294

注記 * : 短期許容応力度は、許容応力度に対して1.5倍の割増を考慮する。

3.5 評価方法

貯留堰の強度評価は、添付書類「VI-3-別添 3-1 津波への配慮が必要な施設の強度計算の方針」の「5. 強度評価方法」に基づき実施する。

3.5.1 解析方法

貯留堰は、取水口底版に設置される構造物であることを踏まえ、取水口底版を固定端とし、高さ方向に線形はり要素で模擬した静的フレーム解析により評価を実施する。

静的フレーム解析には、解析プログラム「FRAME（面内） Ver. 5.0.4」を使用する。解析コードの検証及び妥当性確認の概要については、添付書類「VI-5 計算機プログラム（解析コード）の概要」に示す。

静的フレーム解析においては、貯留堰の下端から天端までの高さ（はり長）1.2m、長さ（奥行き幅）4mを対象にモデル化する。なお、貯留堰の両側部は取水口の隔壁と一体構造となっているが、解析においては側部の拘束は保守的に考慮せず、取水口底版を固定端とした片持ち梁として照査を実施する。静的フレーム解析モデルの概念図を図3-4に示す。

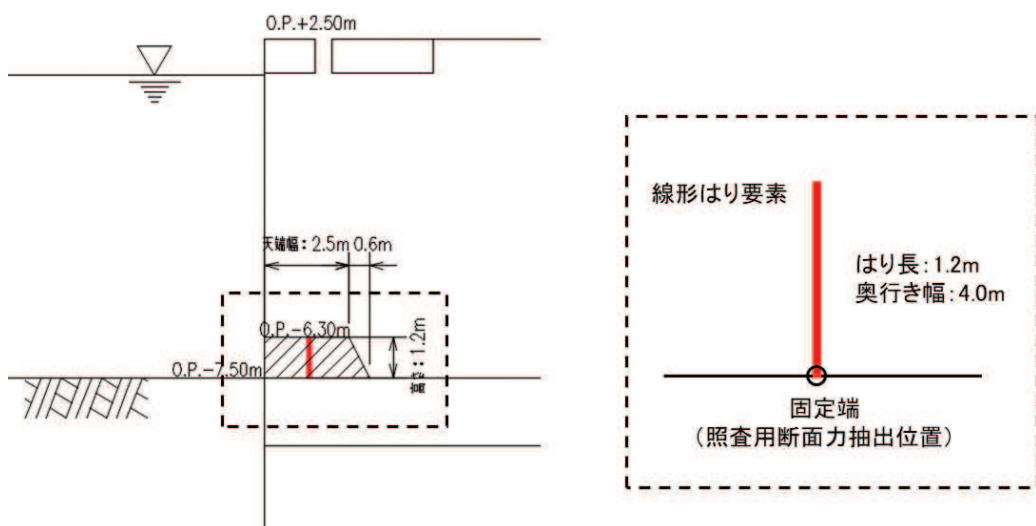


図3-4 静的フレーム解析モデル概念図

3.5.2 設計水平震度の算定

(1) 地盤物性及び材料物性のばらつき

地震応答解析には、添付書類「VI-2-1-3 地盤の支持性能に係る基本方針」にて設定している物性値を使用する。

地盤物性のばらつきの影響を考慮するため、表3-5に示す解析ケースを設定する。

表 3-5 強度評価における解析ケース

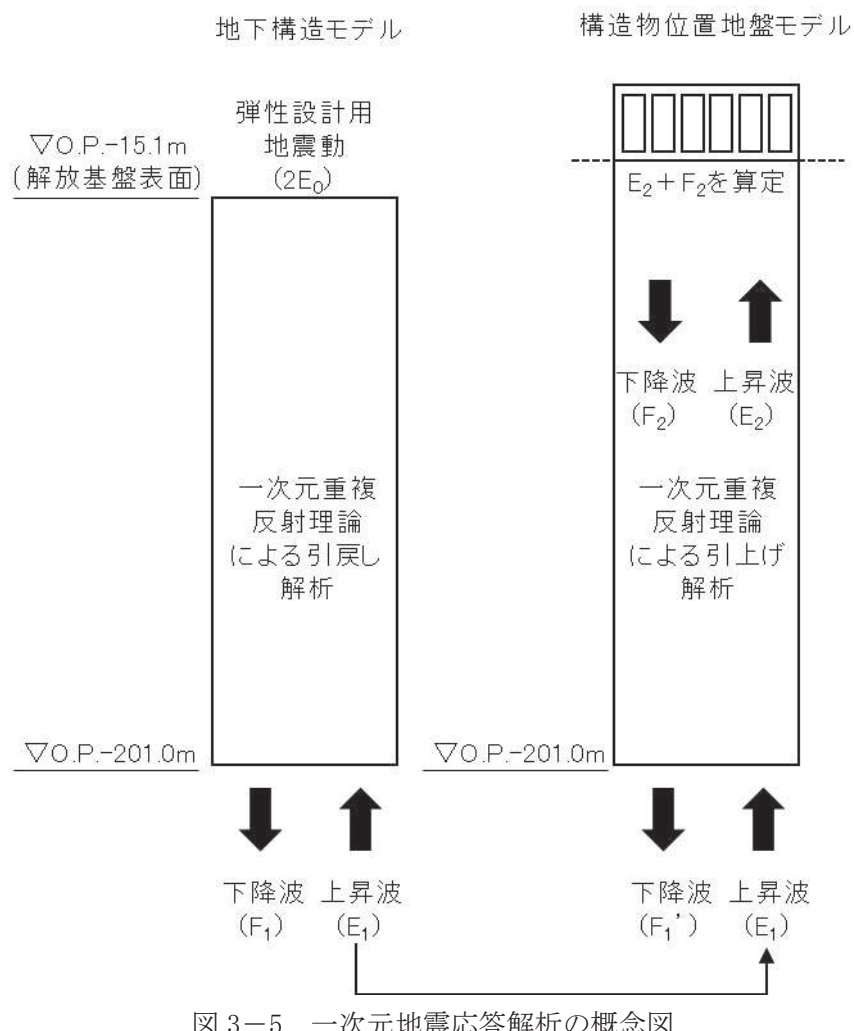
解析ケース	材料物性 (コンクリート) (E_0 : ヤング係数)	地盤物性
		C_M 級岩盤, C_H 級岩盤, B 級岩盤 (G_d : 動せん断弾性係数)
ケース① (基本ケース)	設計基準強度	平均値
ケース②	設計基準強度	平均値 + 1σ
ケース③	設計基準強度	平均値 - 1σ

(2) 一次元地震応答解析

設計水平震度は、解放基盤表面で定義される弹性設計用地震動 $S_d - D_2$ を一次元重複反射理論による引戻し・引上げ解析を行って求められる貯留堰位置での応答結果を用いて設定する。なお、引戻し解析に用いる地下構造モデルは、添付書類「VI-2-1-3 地盤の支持性能に係る基本方針」のうち「6.1 入力地震動の設定に用いる地下構造モデル」とする。

一次元地震応答解析の概念図を図 3-5 に、設計水平震度の設定に用いる貯留堰位置の弹性設計用地震動 $S_d - D_2$ による加速度時刻歴波形及び加速度応答スペクトルを図 3-6 に示す。

一次元地震応答解析には、解析コード「ArkQuake Ver. 3.10.01」を使用する。解析コードの検証及び妥当性確認の概要については、添付書類「VI-5 計算機プログラム（解析コード）の概要」に示す。



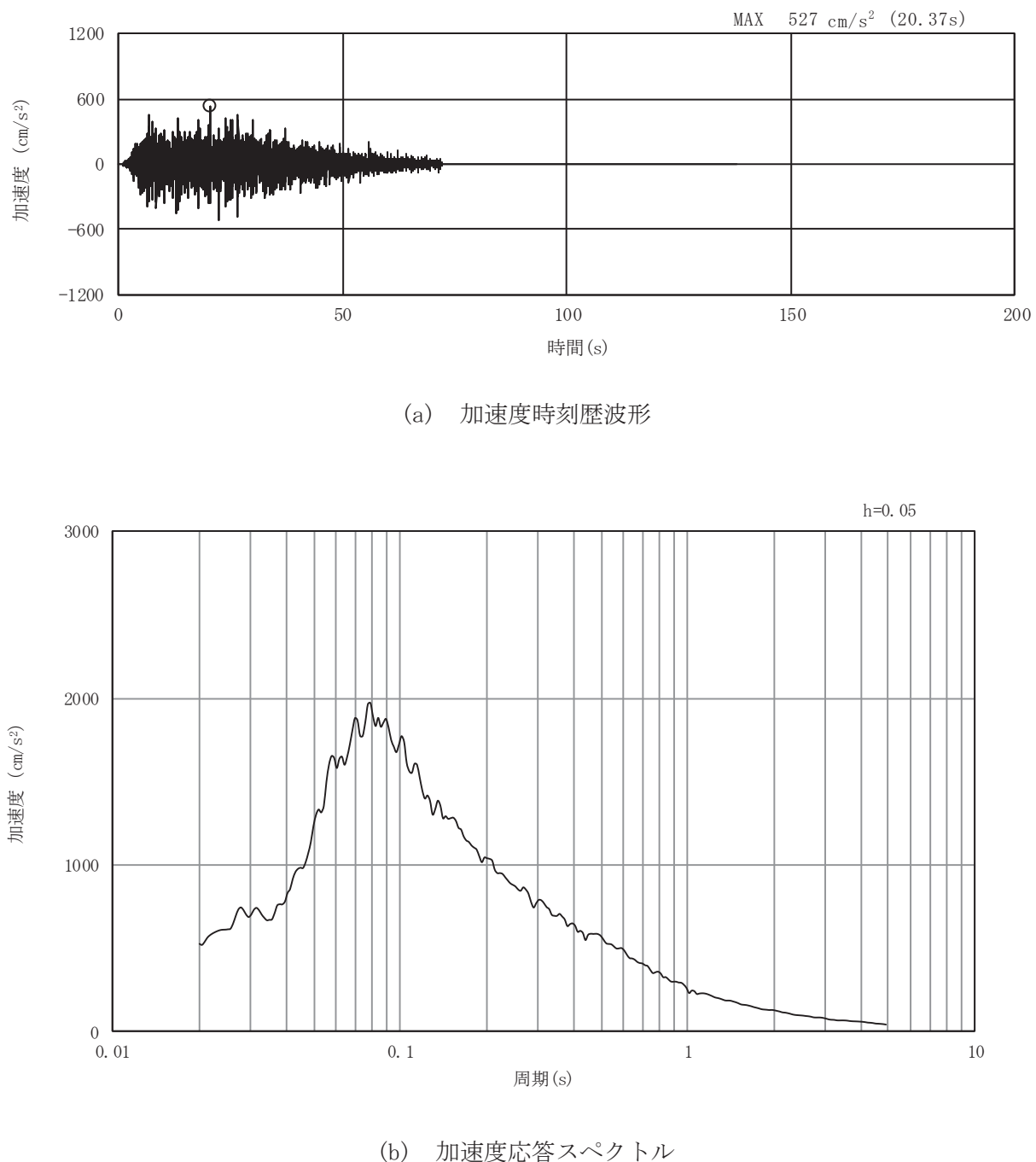


図 3-6 貯留堰位置における弾性設計用地震動 S d - D 2 による
加速度時刻歴波形及び加速度応答スペクトル

(3) 設計水平震度の算定

貯留堰位置における最大加速度を表3-6に示す。

ケース②の加速度が最も大きいため、この加速度を重力加速度で除して、保守的に設計水平震度を0.60とする。

$$\text{設計水平震度 (k h)} = 579(\text{cm/s}^2) / 980.665(\text{cm/s}^2) \doteq 0.60$$

表3-6 一次元地震応答解析結果（下線部：設計水平震度採用ケース）

解析ケース	①	②	③
	基本ケース	地盤剛性のばらつき (+1σ) を考慮した解析ケース	地盤剛性のばらつき (-1σ) を考慮した解析ケース
最大加速度 (cm/s ²)	527	<u>579</u>	511

3.5.3 評価方法

貯留堰の強度評価においては、静的フレーム解析により得られた曲げモーメント及び軸力より算定した曲げ圧縮応力及び引張応力、せん断力より算定したせん断応力が「3.4 許容限界」で設定した許容限界以下であることを確認する。

(1) 曲げ圧縮と引張に対する照査

曲げ圧縮及び引張の断面照査においては、発生断面力が許容限界以下であることを確認する。解析プログラムは「RC断面計算 Ver8.0.6」を使用する。解析コードの検証及び妥当性確認の概要については、添付書類「VI-5 計算機プログラム（解析コード）の概要」に示す。

(2) せん断力に対する照査

せん断力を用いて次式により算定したせん断力が許容限界以下であることを証明する。

$$\tau = \frac{V}{b w \cdot j \cdot d} = \frac{V}{b w \cdot z}$$

ここで、

V : せん断力

b w : 部材断面の腹部の幅

$z = j \cdot d$: 全圧縮応力の作用点から引張鉄筋断面の図心までの距離

d : 有効高さ, $j = 1 / 1.15$

3.5.4 使用材料及び材料の物性値

使用材料及び材料の物性値を表3-7に示す。

表3-7 使用材料及び物性値

評価対象	材料	仕様	単位体積重量 (kN/m ³)	ヤング係数 (kN/mm ²)
貯留堰 (鉄筋コンクリート造)	コンクリート	$f' = 20.5 \text{ N/mm}^2$	24.0	23.3
	鉄筋	SD345		

4. 評価条件

4.1 津波時

津波時において、強度評価に用いる評価条件を表4-1に示す。

表4-1 強度評価に用いる条件（津波時）

記号	定義	数値	単位
g	重力加速度	9.80665	m/s^2
w_1	転体自重（貯留堰天端における軸方向荷重）	240.3	kN/m
w_2	転体自重（貯留堰下端における軸方向荷重）	298.0	kN/m
h_1	貯留堰の天端における水深	0.0	m
h_2	貯留堰の下端における水深	1.2	m
p_1	貯留堰の天端における津波波圧	105.0	kN/m
p_2	貯留堰の下端における津波波圧	153.5	kN/m
P_c	衝突荷重	2000	kN
γ_w	海水の単位体積重量	10.1	$\text{k N}/\text{m}^3$
$\sigma'_{c,a}$	短期許容曲げ圧縮応力度	11.7	N/mm^2
$\sigma_{s,a}$	短期許容引張応力度	294	N/mm^2
τ_a	短期許容せん断応力度	0.63	N/mm^2

4.2 重畠時 1

重畠時 1において、強度評価に用いる評価条件を表 4-2 に示す。

表4-2 強度評価に用いる条件（重畠時 1）

記号	定義	数値	単位
g	重力加速度	9.80665	m/s^2
k_h	設計水平震度	0.60	—
w_1	躯体自重（貯留堰天端における軸方向荷重）	240.3	kN/m
w_2	躯体自重（貯留堰下端における軸方向荷重）	298.0	kN/m
h_1	貯留堰の天端における水深	0.0	m
h_2	貯留堰の下端における水深	1.2	m
p_1	貯留堰の天端における津波波圧	105.0	kN/m
p_2	貯留堰の下端における津波波圧	153.5	kN/m
$p_d 1$	貯留堰の天端における動水圧	0.0	kN/m
$p_d 2$	貯留堰の天端から下に 0.1m における動水圧	15.3	kN/m
$p_d 3$	貯留堰の天端から下に 0.2m における動水圧	21.6	kN/m
$p_d 4$	貯留堰の天端から下に 0.3m における動水圧	26.5	kN/m
$p_d 5$	貯留堰の天端から下に 0.4m における動水圧	30.6	kN/m
$p_d 6$	貯留堰の天端から下に 0.5m における動水圧	34.2	kN/m
$p_d 7$	貯留堰の天端から下に 0.6m における動水圧	37.5	kN/m
$p_d 8$	貯留堰の天端から下に 0.7m における動水圧	40.5	kN/m
$p_d 9$	貯留堰の天端から下に 0.8m における動水圧	43.3	kN/m
$p_d 10$	貯留堰の天端から下に 0.9m における動水圧	45.9	kN/m
$p_d 11$	貯留堰の天端から下に 1.0m における動水圧	48.4	kN/m
$p_d 12$	貯留堰の天端から下に 1.1m における動水圧	50.7	kN/m
$p_d 13$	貯留堰の下端における動水圧	53.0	kN/m
$p_{sd} 1$	貯留堰の天端における躯体慣性力	144.2	kN/m
$p_{sd} 2$	貯留堰の下端における躯体慣性力	178.8	kN/m
γ_w	海水の単位体積重量	10.1	$\text{k N}/\text{m}^3$
σ'_{ca}	許容曲げ圧縮応力度	11.7	N/mm^2
σ_{sa}	許容引張応力度	294	N/mm^2
τ_a	許容せん断応力度	0.63	N/mm^2

4.3 重畠時2

重畠時2において、強度評価に用いる評価条件を表4-3に示す。

表4-3 強度評価に用いる条件（重畠時2）

記号	定義	数値	単位
g	重力加速度	9.80665	m/s^2
k_h	設計水平震度	0.60	—
w_1	躯体自重（貯留堰天端における軸方向荷重）	240.3	kN/m
w_2	躯体自重（貯留堰下端における軸方向荷重）	298.0	kN/m
h_1	貯留堰の天端における水深	1.0	m
h_2	貯留堰の下端における水深	2.2	m
p_{s1}	貯留堰の天端における静水圧	40.4	kN/m
p_{s2}	貯留堰の下端における静水圧	88.9	kN/m
P_c	衝突荷重	2000	kN
p_{d1}	貯留堰の天端における動水圧	52.8	kN/m
p_{d2}	貯留堰の天端から下に 0.1m における動水圧	55.4	kN/m
p_{d3}	貯留堰の天端から下に 0.2m における動水圧	57.9	kN/m
p_{d4}	貯留堰の天端から下に 0.3m における動水圧	60.2	kN/m
p_{d5}	貯留堰の天端から下に 0.4m における動水圧	62.5	kN/m
p_{d6}	貯留堰の天端から下に 0.5m における動水圧	64.7	kN/m
p_{d7}	貯留堰の天端から下に 0.6m における動水圧	66.8	kN/m
p_{d8}	貯留堰の天端から下に 0.7m における動水圧	68.9	kN/m
p_{d9}	貯留堰の天端から下に 0.8m における動水圧	70.9	kN/m
p_{d10}	貯留堰の天端から下に 0.9m における動水圧	72.8	kN/m
p_{d11}	貯留堰の天端から下に 1.0m における動水圧	74.7	kN/m
p_{d12}	貯留堰の天端から下に 1.1m における動水圧	76.5	kN/m
p_{d13}	貯留堰の下端における動水圧	78.3	kN/m
p_{sd1}	貯留堰の天端における躯体慣性力	144.2	kN/m
p_{sd2}	貯留堰の下端における躯体慣性力	178.8	kN/m
γ_w	海水の単位体積重量	10.1	kN/m^3
σ'_{ca}	許容曲げ圧縮応力度	11.7	N/mm^2
σ_{sa}	許容引張応力度	294	N/mm^2
T_a	許容せん断応力度	0.63	N/mm^2

4.4 解析ケースによる荷重モデル図

評価条件で使用される記号を用いた荷重モデル図を図4-1～図4-3に示す。

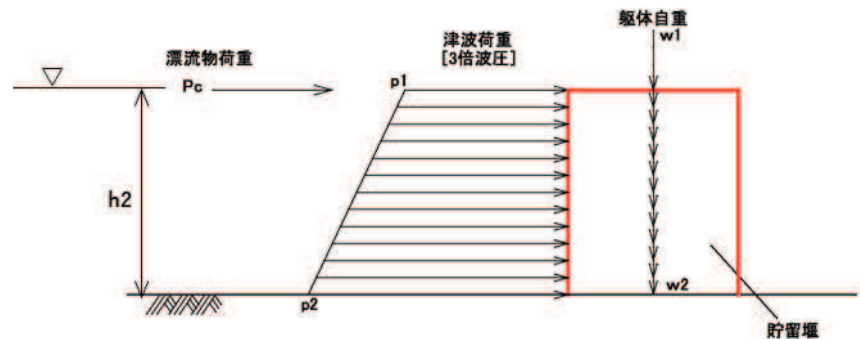


図4-1 荷重モデル図（津波時）

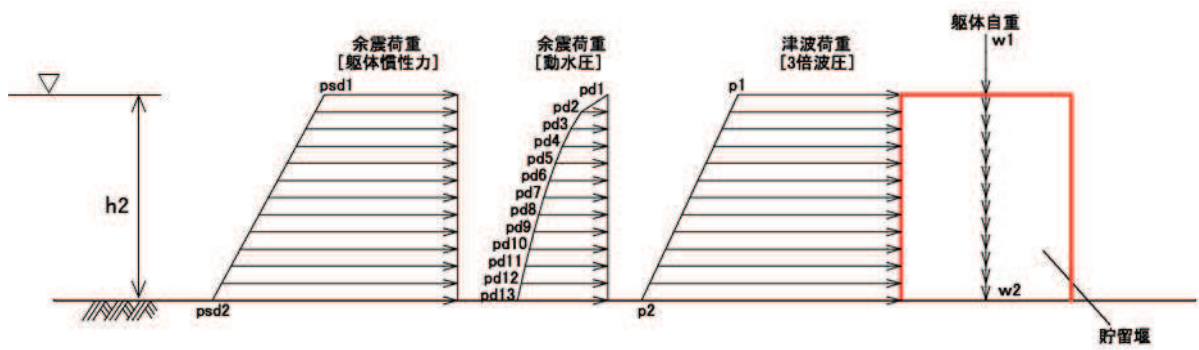


図4-2 荷重モデル図（重畠時1）

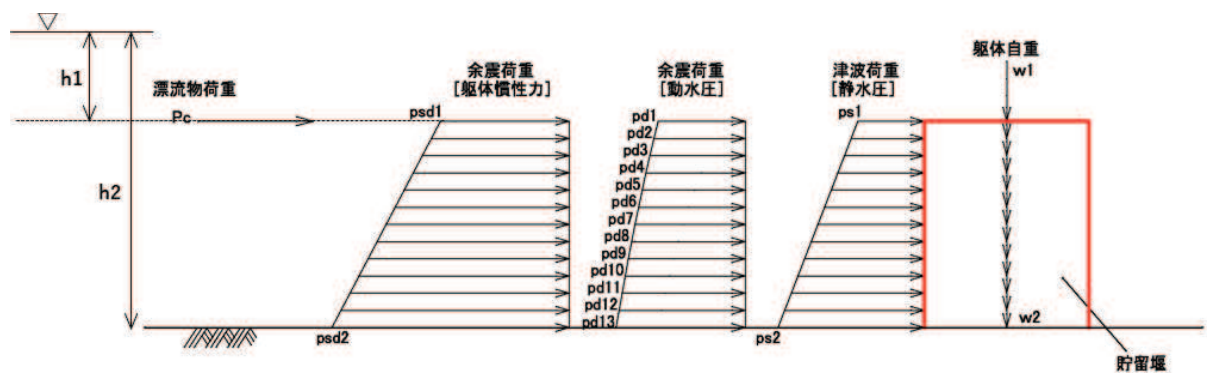


図4-3 荷重モデル図（重畠時2）

5. 強度評価結果

5.1 曲げ圧縮応力度に対する照査

曲げ圧縮応力度の評価結果を表 5-1 に示す。曲げ圧縮応力度が短期許容応力度以下であることを確認した。照査値が最大となる重畠時 2 における断面力図を図 5-1 に示す。

表 5-1 曲げ圧縮応力度の評価

事象	曲げモーメント M	軸力 N	圧縮応力度 σ	短期許容 圧縮応力度 σ_{ca}	照査値
	kN・m	kN	N/mm ²	N/mm ²	
津波時	2488	323	1.8	11.7	0.16
重畠時 1	220	323	0.1	11.7	0.01
重畠時 2	2598	323	1.8	11.7	0.16

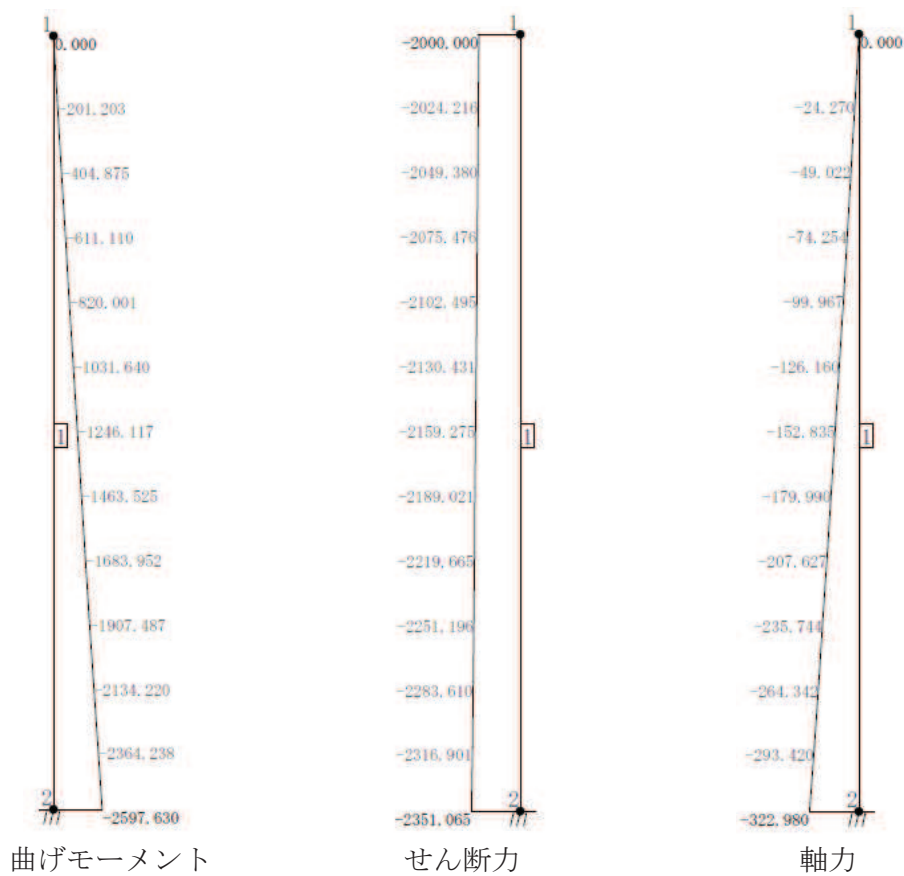


図 5-1 断面力図（重畠時 2）

5.2 引張応力度に対する照査

引張応力度の評価結果を表5-2に示す。引張応力度が短期許容応力度以下であることを確認した。

表5-2 引張応力度の評価

事象	曲げモーメント M	軸力 N	引張応力度 σ	短期許容 引張応力度 σ_{sa}	照査値
	kN・m	kN	N/mm ²	N/mm ²	
津波時	2488	323	140	294	0.48
重畠時1	220	323	1	294	0.01
重畠時2	2598	323	148	294	0.51

5.3 せん断応力度に対する照査

せん断応力度の評価結果を表5-3に示す。せん断応力度が短期許容応力度以下であることを確認した。

表5-3 せん断応力度の評価

事象	せん断力 V	せん断応力度 τ	短期許容 せん断応力度 τ_a	照査値
	kN	N/mm ²	N/mm ²	
津波時	2156	0.27	0.63	0.43
重畠時1	392	0.05	0.63	0.08
重畠時2	2352	0.29	0.63	0.47